

## STUDY ON THE EFFICACY OF MINERAL WOOL IN OIL ADSORPTION

## Study on the efficacy of mineral wool wastes in adsorption of waterborne oil contamination (Kerosene)

### ABSTRACT

**Background and aim:** water oil contamination has occurred in Iran since the previous century and environmental oil accumulation threatens the country water resources' health. There are several methods to remove oil and its derivatives contamination. In the present study, mineral wool waste was used as low price adsorbent for wastewater oil contamination (kerosene) removal.

**Materials and Methods:** first, XRF and XRD analyses were used to determine chemical composition. Then, adsorption tests were conducted discontinuously using laboratory solutions containing oil to determine optimum adsorption conditions by adjustment of effective factors such as pH, initial concentration, exposure time and adsorbent concentration. Thereafter, application of adsorbent for laboratory wastewater was studied.

**Results:** after 15 min exposure, the adsorbent (mineral wool wastes) efficacy was significantly higher than the other times (76.01 % adsorption;  $P<0.05$ ); whereas, the lowest efficacy was observed after 3 min (63.82 %;  $P<0.05$ ). Among the tested pH, the highest and lowest adsorption were observed at pH = 3 (70.59 %;  $P<0.05$ ) and 9 (57.69 %;  $P<0.05$ ), respectively. There was no significant difference in adsorption between the adsorbent concentrations of 0.5 and 1 g (76.80 and 75.30 %); however, both were significantly ( $P<0.05$ ) higher than the other concentrations. the lowest adsorption was observed at the concentration of 0.25 g adsorbent (67.78 %). Isotherm fitting of surface adsorption showed that oil adsorption by mineral wool wastes follows Langmuir model ( $R^2=0.99$ ).

**Conclusion:** it is concluded that mineral wool waste has high efficiency to adsorb oil from wastewater and could be used for oil contamination removal.

**Document Type:** Research article

**Keywords:** Rock wool's waste, oil pollution, laboratory wastewater, effective factors on absorption.

**Mohammad Hadi Abolhasani**

\* Department of environmental science, waste and wastewater research center, Islamic azad university, khorasgan(Isfahan), Iran

**Niloofar Pirestani**

Department of environmental science, waste and wastewater research center, Islamic azad university, khorasgan(Isfahan), Iran

**Hajar Amini**

Department of environmental science, waste and wastewater research center, Islamic azad university, khorasgan(Isfahan), Iran

Received: 2018/02/23

Accepted: 2018/03/19

► **Citation:** Abolhasani MH, Pirestani N, Amini H. Study on the efficacy of mineral wool wastes in adsorption of waterborne oil contamination (Kerosene). *Iranian Journal of Research in Environmental Health*. Winter 2018;3 (4) : 300-311.

## بررسی کارایی پشم سنگ در جذب نفت

## بررسی کارایی پشم سنگ در جذب آلودگی های نفتی (نفت سفید) در آب

محمد هادی ابوالحسنی

\* استادیار، گروه محیط زیست، دانشکده کشاورزی و منابع طبیعی، مرکز تحقیقات پسماند و پساب، دانشگاه آزاد اسلامی، خوارسکان (اصفهان)، ایران.

## نیلوفر پیرستانی

دانشجوی دکتری محیط زیست، دانشکده کشاورزی و منابع طبیعی، مرکز تحقیقات پسماند و پساب، دانشگاه آزاد اسلامی، خوارسکان (اصفهان)، ایران.

## هاجر امینی

دانشجوی کارشناسی محیط زیست، دانشکده کشاورزی و منابع طبیعی، مرکز تحقیقات پسماند و پساب، دانشگاه آزاد اسلامی، خوارسکان (اصفهان)، ایران.

تاریخ دریافت: ۱۳۹۶/۱۲/۰۴  
تاریخ پذیرش: ۱۳۹۶/۱۲/۲۸

## چکیده

**زمینه و هدف:** آلوده شدن آب به ترکیبات نفتی در ایران از بدو استخراج نفت از سده گذشته ایجاد شده است و انباست تدریجی آنها در محیط سلامتی منابع آب کشور را تهدید می کند، بنابراین گسترش فناوری های جدید برای حذف و پاکسازی آلودگی های نفتی ضروری است. روش های مختلفی برای پاکسازی آلودگی های نفتی و مشتقات آن وجود دارد. در این پژوهش، از جاذب پسماند پشم سنگ به عنوان جاذب ارزان قیمت برای حذف آلودگی نفتی (نفت سفید) از پساب استفاده شد.

**مواد و روش ها:** در ابتدا با استفاده از آنالیز XRF و XRD ترکیب شمیایی تعیین شد، سپس آزمایشات جذب به صورت ناپیوسته با استفاده از محلول های آزمایشگاهی حاوی نفت انجام گرفت و شرایط بهینه جذب با تغییر فاکتورهای مؤثر بر جذب که شامل pH، غلظت اولیه آلوده کننده، زمان تماس و مقدار جاذب بر میزان جذب در سطوح مختلف بود، مورد بررسی قرار گرفت و در نهایت استفاده از جاذب برای پساب آزمایشگاهی مورد مطالعه قرار گرفت.

**یافته ها:** کارایی جاذب در زمان تعادل برای جذب نفت با استفاده از جاذب پسماند پشم سنگ در ۱۵ min دقیقه با اختلاف معنی داری بیشتر از دیگر زمان تماس ها بود (میزان ۷۶/۰۱ درصد جذب؛  $p<0.05$ ) و کمترین مقدار آن با اختلاف معنی داری در ۳ min مشاهده شد (میزان ۶۳/۰۲ درصد جذب؛  $p<0.05$ ). بیشترین میزان جذب پسماند پشم سنگ در  $\text{pH}=3$  مشاهده شد که اختلاف معنی داری با دیگر pH ها داشت (میزان ۷۰/۰۹ درصد جذب؛  $p<0.05$ ) و کمترین درصد جذب پسماند پشم سنگ در  $\text{pH}=9$  مشاهده شد (میزان ۵۷/۶۹ درصد جذب؛  $p<0.05$ ). تأثیر مقادیر جاذب پسماند پشم سنگ در  $\text{pH}=1$  با یکدیگر اختلاف معنی داری با یکدیگر نداشتند، اما با اختلاف معنی داری بیشتر از دیگر مقدار جاذبها بودند (به ترتیب میزان ۷۶/۰۸ و ۷۵/۰۳ درصد جذب؛  $p<0.05$ ) و کمترین درصد جذب با اختلاف معنی داری نسبت به سایر مقادیر در  $\text{G/L}=0.25$  مشاهده شد (میزان ۶۷/۷۸ درصد؛  $p<0.05$ ). برآش هم دمای های جذب سطحی نشان داد که جذب نفت توسعه پسماند پشم سنگ با مدل لانگمومیر مطابقت دارد (میزان  $R^2=0.99$  می باشد).

**نتیجه گیری:** جاذب پسماند پشم سنگ، کارایی بالای در جذب نفت از پساب دارد و می تواند در رفع آلودگی نفتی (نفت سفید) مورد استفاده قرار گیرد.

**نوع مقاله:** مقاله پژوهشی

**کلید واژه ها:** آلودگی نفتی، پساب ساختگی، پسماند پشم سنگ، فاکتورهای مؤثر بر جذب

◀ استناد: ابوالحسنی، م، پیرستانی، ن، امینی، ه. بررسی کارایی پسماند پشم سنگ در جذب آلودگی های نفتی (نفت سفید) در آب. *فصلنامه پژوهش در بهداشت محیط*. زمستان ۳:۱۳۹۶ (۴): ۳۰۰-۳۱۱.

## مقدمه

آب، فراوان‌ترین ماده در طبیعت است و به حالت جامد، مایع و گاز وجود دارد. سلول‌های بدن انسان بدون وجود این ماده قادر به ادامه حیات نیستند. آشامیدن و رفع نیازهای فردی، نخستین نگرش بشر به آب بوده است. همچنین آب بهترین حلal شیمیایی است، بسیاری از گازها و مواد معدنی به آسانی در آن حل می‌شوند. آب سرمایه ملی هر کشوری می‌باشد که در آیندهای نهضتنان دور، ارزشی برابر نفت خواهد داشت. در سطح دنیا و همچنین در ایران، رقابت برای استفاده از آب در مصارف شهری، صنعتی، محیط‌زیست و کاربردهای تفریحی افزایش یافته است (۱، ۲). امروزه آلدگی نفتی، به عنوان یکی از خطرناک‌ترین آلدگی‌های محیطی شناخته شده است (۳). اکتشاف، استخراج و پهبهداری از منابع نفتی در کشورهای نفت‌خیز مانند ایران علی‌رغم فواید بسیار، موجب بروز مشکلات زیست محیطی متعددی شده است. یکی از مهم‌ترین این معضلات، آلدگی منابع آب با ترکیبات نفتی می‌باشد (۴). همانطور که عنوان شد، ترکیبات نفتی یکی از منابع آلدگی کننده آب‌ها به شمار می‌روند که نشت و ریزش عمده یا تصادفی آن‌ها به منابع آبی می‌تواند خسارات جبران‌ناپذیری به دنبال داشته باشد. مصرف آب‌های آلدگی به مشتقات نفتی، تهدیدی جدی برای سلامت محیط زیست، انسان‌ها و سایر موجودات زنده به حساب می‌آید (۵، ۶). قرارگیری در معرض این آلاینده‌ها می‌تواند منجر به مرگ موجودات زنده آبی شود و آثار مضری از جمله کاهش تولید مثل، رشد نامناسب، مشکل در مکانیسم تغذیه و کاهش قدرت دفاعی در مقابل بیماری‌ها را به دنبال داشته باشد (۷). هجوم آلدگی به آب‌های رودخانه‌ها، دریاچه‌ها، دریاها و اقیانوس‌ها، آثار محربی از خود بر جای گذاشته است؛ به‌گونه‌ای که نه تنها حیات آبزیان را به مخاطره انداخته است، بلکه از طریق زنجیره‌های غذایی، زندگی سایر موجودات خشکی که ارتباط غذایی با دریا دارند را تهدید می‌نماید (۸). با توجه به اینکه ریزش و نشت نفت به آب در اکثر موقع اجتناب‌ناپذیر است و همچنین نظر به عوارض نامطلوب آب آلدگی به مشتقات نفتی بر روی انسان و محیط زیست، تاکنون

روش‌های متعددی به منظور تصفیه آب‌ها و جداسازی این دو ماده مهم از یکدیگر پیشنهاد شده‌اند. جداسازی شلی، انواع فیلترها، اسمر معکوس، فرآیندهای بیولوژیکی، شناورسازی با هوای محلول، بیوراکتورهای ممبرانی، جذب با کربن فعال، انعقاد شیمیایی، شناورسازی الکتریکی و غیره از جمله راه حل‌هایی هستند که تاکنون برای تصفیه آب مورد استفاده قرار گرفته‌اند (۹، ۱۰). به منظور استفاده بهینه از اثرزی و جلوگیری از هدر رفتن آن، جهان رویکرد جدیدی را به استفاده روزافرون از عایق‌های معدنی مصنوعی آغاز کرده است (۱۱). اولین ماده مورد استفاده برای این منظور آذبست بوده که به علت خواص منحصر به فرد، کاربرد فراوانی در طول تاریخ داشته است (۱۲). بعدها به دلیل خواص بیماری‌زاوی محرز و قطعی این ماده، بشر به فکر جایگزینی مناسب برای آذبست با خواص شیمیایی مشابه و داشتن بیماری‌زاوی و خطرزاوی کمتر افتاد که با این دیدگاه به الیاف معدنی مصنوعی روی آورد. الیاف معدنی مصنوعی اصطلاح مورد استفاده برای بیان مواد لیفی شکل شامل، الیاف پشم سنگ، پشم سرباره، پشم شیشه و الیاف سرامیکی نسوز است (۱۳، ۱۴). پشم سنگ که در زبان انگلیسی Rockwool نامیده می‌شود، جزء خانواده عایق‌های حرارتی متشکل از الیاف معدنی است، به همین دلیل گاهی به آن Mineral Wool نیز اطلاق می‌شود (۱۳). پشم سنگ از دسته الیاف معدنی مصنوعی بوده که ماده اولیه اصلی برای تولید آن، سنگ بازالت از گروه سنگ‌های آتش‌شناختی آذرین می‌باشد (۱۵). در ساختار شیمیایی پشم سنگ، اکسیدهای فلزی MgO و TiO<sub>2</sub>، Al<sub>2</sub>O<sub>3</sub>، CaO، B<sub>2</sub>O<sub>3</sub> وجود دارد (۱۶). با وجود اینکه پشم سنگ و سرباره به اندازه عایق‌های دیگر نزد مصرف کنندگان ایرانی شناخته شده نیستند، اما در حال حاضر ایران یکی از کشورهای عمدۀ تولید کننده پشم سنگ است (۱۷). در ارزیابی‌های موجود در زمینه سلطان‌زاوی پشم سنگ، مدارکی دال بر افزایش خطر سلطان‌زاوی این ماده گزارش نشده است، لذا ارزیابی نهایی طبق طبقه‌بندی انجمان تحقیقات سلطان به این شکل است: در مورد سلطان‌زاوی پشم سنگ در انسان‌ها مدارک

روبوشی (SEM) مدل PHilips XL<sup>30</sup> صورت گرفت.

#### آزمایش جذب آب و نفت به طور جداگانه

مقدار ۲۰۰ mL از نمونه (آب مقطر یا نفت) داخل یک بشر mL ۲۵۰ ریخته شد و مقدار توزین شده‌ای از جاذب ( $5/0\text{ g}$ ) از جاذب) به آن افزوده شد و پس از زمان ۵ min، جاذب از نمونه جدا و سپس وزن شد. اختلاف وزن جاذب قبل و بعد از جذب برای با میزان جذب نمونه شد.

#### آزمایش جذب نفت از روی آب

در این مطالعه تجربی از پساب ساختگی استفاده شد. جهت تهیه پساب ساختگی، mL ۱۰۰ نفت به حجم L ۱ (با آب مقطر) رسیده شد. سپس به منظور مخلوط شدن آب و نفت، به مدت ۳۰ min توسط دستگاه شیکر تکان داده شد.

#### تأثیر پارامترهای مختلف بر فرآیند جذب

برای دستیابی به بیشترین میزان جذب، تأثیر عامل‌های گوناگون مؤثر بر فرآیند جذب بررسی شد و میزان جذب محاسبه شد. بدین منظور ترکیب نفتی (نفت سفید یا کروزن) و جاذب به نسبت ۱ به ۱ در یک اrlen ۱۰۰ mL ریخته شد و بقیه آب شهری افزوده شد. سپس توسط شیکر با دور ۱۵۰ rpm هم شده شد و از کاغذ صافی عبور داده شد و در آون به مدت ۲۴ h در دمای ۴۰-۰°C میزان روغن جذب قرار داده شد تا آب آن تبخیر شود و سرانجام میزان روغن جذب شده از روش وزنی بر اساس معادله (۱) به دست آمد (۱۹).

$$a = \frac{100}{z} (x - y)$$

= درصد جذب

$x$  = وزن کل نمونه خشک شده جاذب و نفت (گرم)

$y$  = وزن جاذب اولیه (گرم)

$z$  = میزان اولیه نفت

از جمله فاکتورهای مورد بررسی بر روی جذب ترکیب نفتی، pH، مقدار جاذب، زمان تماس و مقدار غلظت آلاینده بود که اثر آنها در مقادیر مختلف برای pH (۳، ۵، ۷ و ۹)، برای مقدار جاذب پسماند پشم سنگ (۰/۲۵، ۰/۰۵، ۱/۰۵ و ۲/۰ g/L)،

محدود و در مورد حیوانات مدارک اندک وجود دارد و همچنین الیاف پشم سنگ به عنوان عامل سلطان‌زایی در انسان طبقه‌بندی نشده‌اند و در گروه ۳ قرار می‌گیرند (۱۱).

از این رو، مطالعه حاضر با هدف بررسی تأثیر فاکتورهای مختلف نظیر زمان تماس، pH اولیه، غلظت آلاینده نفتی در پساب و مقدار جاذب بر روی میزان جذب توسط جاذب پسماند پشم سنگ انجام شد. همچنین به منظور آنالیز معادله جذب از مدل‌های جذب لانگمویر و فرون‌دیلیچ استفاده شد.

#### روش کار

در این تحقیق برای بررسی کارایی جاذب مختلف در جذب آلاینده‌های نفتی از سطح آب، ابتدا پسماند پشم سنگ به عنوان جاذب و نفت خام به عنوان جذب شونده انتخاب شدند و خصوصیات جاذب مورد آزمایش با استفاده از آنالیز XRD و XRF مورد بررسی قرار گرفت، سپس عملکرد جاذب در جذب آب و نفت به طور جداگانه مورد آزمایش قرار گرفت و تأثیر فاکتورهای مختلف زمان تماس، pH اولیه، غلظت آلاینده نفتی در پساب و مقدار جاذب بر روی میزان جذب توسط جاذب پسماند پشم سنگ مطالعه شد. با در نظر گرفتن ۴ تیمار؛ جذب وابسته به pH، جذب وابسته به غلظت اولیه پساب، جذب وابسته به زمان تماس و جذب وابسته به مقدار جاذب، پژوهش طی مراحل زیر انجام شد.

شناسایی ویژگی جاذب

ویژگی‌های ساختاری پشم سنگ با استفاده از پراش اشعه ایکس (XRD:X-ray powder diffraction)، طیف سنجی مادون قرمز (XRF: X-ray fluorescence) و میکروسکوپ الکترونیکی رویشی (SEM) تعیین شد (۱۸). جهت تعیین ساختار پشم سنگ، از دستگاه پراش اشعه ایکس (XRD) PHilips مدل PW1800 و جهت تعیین ترکیب شیمیایی نمونه مورد آزمایش، از دستگاه طیف‌سنجی فلورسانس (XRF) ساخت کمپانی PHilips مدل PW1480 استفاده شد. تصویربرداری جهت ریخت‌شناسی و اندازه پسماند پشم سنگ با استفاده از میکروسکوپ الکترونی

به دست می‌آید:

$$\log q_e = \log k_f + 1/n(\log c_e) \quad \text{رابطه (۳)}$$

با رسم نمودار  $\log q_e$  (بر روی محور Y) نسبت به مقادیر  $\log c_e$  (بر روی محور X)، خط راستی حاصل می‌شود که دارای شیب  $1/n$  و عرض از مبدأ  $\log K_f$  است. مدل لانگمویر برای جذب فیزیکی و تک لایه‌ای کاربرد دارد (۲۲).

$$\frac{c_e}{q_e} = \frac{1}{q_{max}} + \left( \frac{1}{K_f} \right) \left( \frac{c_e}{q_{max}} \right) \quad \text{رابطه (۴)}$$

$c_e$  = غلظت تعادلی (mg/L)

$q_e$  = مقدار ماده جذب شده (mg/g)

$q_{max}$  = بیشترین مقدار ظرفیت جذب که مطابق با پوشش تک لایه کامل سطح جاذب است (mg/g).

$K_f$  = ثابت لانگمویر یا ثابت تعادلی (mg/L) است که به انرژی جذب سطحی مربوط است.

با رسم نمودار  $C_e/q_e$  (بر روی محور Y) نسبت به غلظت در نقطه تعادل یعنی  $C_e$  (بر روی محور X)، خط راستی حاصل می‌شود که دارای شیب  $1/n$  و عرض از مبدأ  $q_{max}/K_f$  است (۲۳).

#### روش تجزیه و تحلیل اطلاعات

داده‌ها پس از گردآوری با استفاده از نرم‌افزارهای Excel نسخه ۲۰۱۳ و نرم افزار SAS نسخه ۹/۴ مورد تجزیه و تحلیل قرار گرفت. برای رسم نمودارهای تأثیر pH، دما، مقدار جاذب، غلظت و زمان تماس بر جذب چربی و روغن از پساب ساختگی از نرم‌افزار Excel و جهت پردازش داده‌های حاصل از نرم‌افزار SAS استفاده شد. همچنین مقایسه میانگین بین پارامترها توسط آزمون دانکن (Duncan) در سطح ۰/۰۵ درصد و تجزیه و تحلیل نتایج با استفاده از واریانس یک‌طرفه (Anova) انجام گرفت.

#### یافته‌ها

برای تعیین ویژگی‌های معدنی جاذب مورد آزمایش از دستگاه پراش اشعه ایکس استفاده شد. شکل ۱ نمودار حاصل را نشان

برای زمان تماس (بازه‌های زمانی ۳، ۵، ۱۰ و ۱۵ min) و برای مقدار آلاینده نفت (حجم‌های ۱۵۰، ۲۵۰، ۳۵۰ و ۴۵۰ mL) بود و مقادیر پارامترهای ثابت در اندازه‌گیری متغیر pH (مقدار g/۵، جاذب پسماند پشم سنگ، زمان ۵ min و پساب ساختگی ۵ mL) ۲۵۰ نفت به حجم L (۱)، برای اندازه‌گیری متغیر مقدار جاذب (pH=۵، زمان ۵ min و پساب ساختگی ۲۵۰ mL) ۲۵۰ نفت به حجم L (۱)، در اندازه‌گیری متغیر زمان تماس (pH=۵، مقدار ۵ g/۵ جاذب و پساب ساختگی ۲۵۰ mL) ۲۵۰ نفت به حجم L (۱) و در نهایت برای متغیر مقدار آلاینده (pH=۵، مقدار ۵ g/۵ جاذب و زمان تماس ۵ min دقیقه) بود.

#### بررسی مدل‌های ایزووترم جذب

ایزووترم جذب سطحی به عنوان یک توصیف ریاضی دقیق از ظرفیت تعادلی جذب، جهت نشان دادن رفتار جذب و تخمین ظرفیت جذب سطحی مورد بررسی قرار گرفته است (۲۰). معادله فروندلیچ، مدلی تجربی است که بر اساس جذب سطحی فیزیکی بین عنصر جذب شونده و ماده جاذب بیان شده است. در این مدل فرض بر این است که جذب به صورت چند لایه‌ای صورت می‌پذیرد و با اضافه شدن مقدار ماده محلول جذب شده، انرژی جذب سطحی به صورت نمایی کاهش می‌یابد. به عبارتی این مدل برای جذب سطحی روی سطوح ناهمگن توأم با برهمکنش بین مولکول‌های جذب سطحی شده به کار می‌رود و توسط رابطه (۲) بیان می‌شود (۲۰).

$$q_e = k_f c_e^{1/n} \quad \text{رابطه (۲)}$$

$q_e$  = غلظت تعادلی نمک روی جاذب (mg/g)

$K_f$  = ثابت فروندلیچ که نشان‌دهنده ظرفیت جذب جاذب است  $n$   $1/n$  (mg/g) (mg/g)  $1/n$  = شدت جذب سطحی

با افزایش  $K_f$ ، ظرفیت جذب جاذب برای جذب ماده جذب شونده افزایش می‌یابد، همچنین مقدار  $n$  بین ۱ تا ۱۰ نشان‌دهنده فرآیند جذب مناسب است (۲۱).

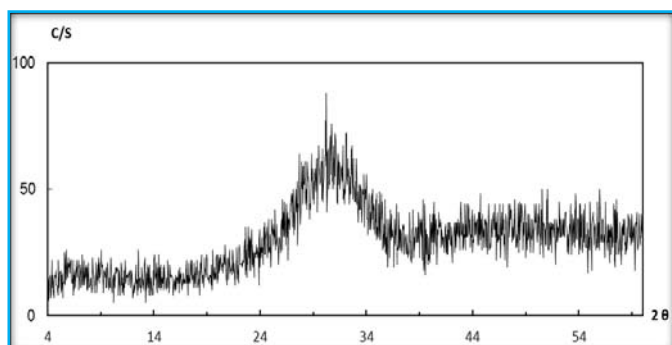
با لگاریتم گرفتن از دو طرف رابطه (۲) رابطه خطی (۳)

**جدول ۱. تعیین ویژگی‌های معدنی پشم سنگ**

Major Phase(s)	Minor Phase(s)	Trace Phase(s)
Amorphous	----	----

ترکیب شیمیایی پسماند پشم سنگ مورد آزمایش از نتایج حاصل از طیف‌سنجی فلورسانس پرتو XRF (X) به دست آمد و در جدول ۲ ارائه شده است. با توجه به این نتایج،  $\text{SiO}_2$ ,  $\text{CaO}$ ,  $\text{Al}_2\text{O}_3$ ,  $\text{MgO}$ ,  $\text{Fe}_2\text{O}_3$  و  $\text{K}_2\text{O}$  حدود ۹۵ درصد مواد تشکیل دهنده پسماند پشم سنگ را شامل می‌شوند که احتمالاً این پسماند عمدها از سیلیکات‌ها تشکیل شدن.

می‌دهد. در جدول ۱ وضعیت فاز اصلی پسماند پشم سنگ نشان داده شده است که به صورت آمورف یا غیرکریستالی بود.


**شکل ۱. نمودار حاصل از پراش پرتو X**
**جدول ۲. آنالیز شیمیایی پشم سنگ**

L.O.I <sup>۱</sup>	S	$\text{P}_2\text{O}_5$	MnO	$\text{TiO}_2$	MgO	K <sub>2</sub> O	$\text{Na}_2\text{O}$	CaO	$\text{Fe}_2\text{O}_3$	$\text{Al}_2\text{O}_3$	$\text{SiO}_2$	ترکیب شیمیایی
۰/۱۶	۰/۶۴۸	۰/۲۱۱	۱/۰۱۵	۱/۲۶۵	۸/۵۲	۱/۱۵	۰/۹۶	۳۳/۵۲	۱/۳۳	۱۱/۸۷	۳۹/۰۶	درصد

آزمون، سطوح مختلف آزمایش بر مشخصه‌های مختلف اندازه‌گیری شده تأثیر معنی‌داری داشتند ( $p < 0.01$ ).

در جدول ۳، نتایج تجزیه و تحلیل واریانس یک‌طرفه (ANOVA) در طول آزمایش آورده شد. بر اساس نتایج این

**جدول ۳. آنالیز واریانس مشخصه‌های اندازه‌گیری شده در سطوح مختلف آزمایشی**

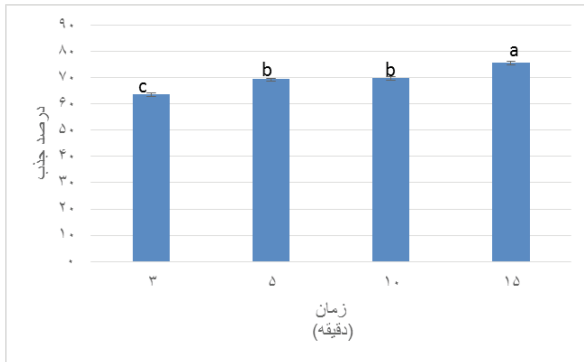
مشخص	منابع تنوع	درجه آزادی	F میزان	سطح معنی‌دار
pH	سطوح	۳	۲۴/۹۲	***
	خطا	۴	.	-
	کل	۷	.	-
زمان ماند	سطوح	۳	۳۳۳/۷۲	***
	خطا	۴	.	-
	کل	۷	.	-
مقدار جاذب	سطوح	۴	۸/۶۴	*
	خطا	۵	.	-
	کل	۹	.	-
غلظت جذب شونده	سطوح	۳	۸۸/۳۹	***
	خطا	۴	.	-
	کل	۷	.	-

\*\*\* نشان دهنده تفاوت معنی‌دار مقادیر در سطح ۰/۰۱ می‌باشد.

\* نشان دهنده تفاوت معنی‌دار مقادیر در سطح ۰/۰۵ می‌باشد.

1. Loss on ignition

درصد جذب با اختلاف معنی دار در ۳ min مشاهده شد (به میزان ۶۳/۸۲ درصد،  $p < 0/05$ ).



شکل ۴. مقایسه میانگین درصد جذب در زمان های مختلف (min)

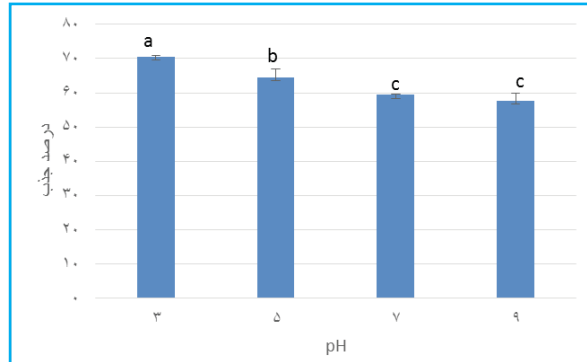
بر اساس شکل ۵، بیشترین میزان جذب پسماند پشم سنگ، در حجم ۳۵۰ mL و ۴۵۰ mL مشاهده شد که این دو مقدار با یکدیگر تفاوت معنی داری نداشتند، اما اختلاف معنی داری با دیگر غلاظت ها داشتند (به ترتیب به میزان ۷۱/۲۰ و ۷۰/۶۵ درصد،  $p < 0/05$ ) و کمترین درصد جذب با اختلاف معنی دار در حجم ۱۵۰ mL مشاهده شد (به میزان ۵۸/۹۸ درصد،  $p < 0/05$ ).



شکل ۵. مقایسه میانگین درصد جذب در غلظت های مختلف (mL)

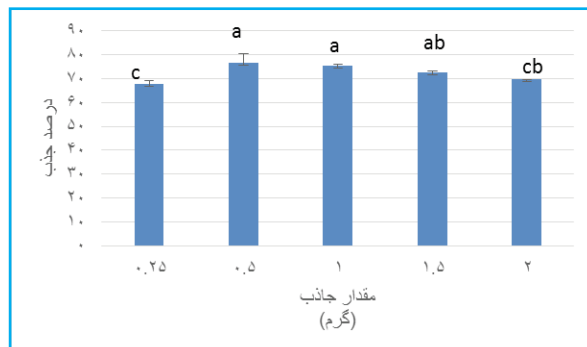
به منظور برآش مدل های جذبی بر روی هم دمای های جذب باید به این نکته اشاره کرد که این هم دمای های در اصل جذب سطحی مواد حل شونده بر روی مواد جامد را در دمای ثابت بر اساس واحد های کمی توصیف می نمایند. بدین منظور برآش نتایج به دست آمده با مدل های جذبی لانگمویر و فرون دلیچ برای

بر اساس شکل ۲، بیشترین میزان جذب پسماند پشم سنگ در pH=۳ مشاهده شد که اختلاف معنی داری با دیگر pHها داشت (میزان ۷۰/۵۹ درصد،  $p < 0/05$ ) و کمترین درصد جذب با اختلافی معنی دار در pH=۹ مشاهده شد (میزان ۵۷/۶۹ درصد،  $p < 0/05$ ).



شکل ۲. مقایسه میانگین درصد جذب در pH های مختلف

بر اساس شکل ۳، بیشترین میزان جذب پسماند پشم سنگ در g/L مشاهده شد (به میزان ۸۳/۶۶ درصد،  $p < 0/05$ ) که اختلاف معنی داری با دیگر مقدار جاذب ها داشت و کمترین درصد جذب با اختلافی معنی دار در ۰/۸ g/L مشاهده شد (به میزان ۴۲/۶۶ درصد،  $p < 0/05$ ).



شکل ۳. مقایسه میانگین درصد جذب در مقدار های مختلف جاذب (g/L)

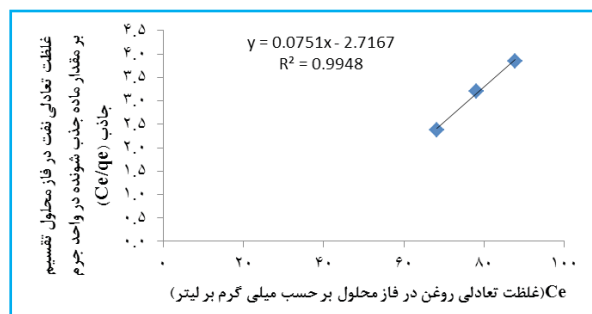
بر اساس شکل ۴، بیشترین میزان جذب پسماند پشم سنگ در ۱۵ min مشاهده شد که اختلاف معنی داری با دیگر زمان های تماس داشت (به میزان ۷۶/۰۱ درصد،  $p < 0/05$ ) و کمترین

برای نفت توسط پسماند پشم سنگ  $41\% / 0$  تعیین گردید. در مدل لانگمویر جاذب پسماند پشم سنگ، بیشینه ظرفیت جذب نفت (b) مقدار  $31/13 \text{ mg}$  نفت بر  $\text{g}$  پسماند پشم سنگ تعیین شد و ثابت تمایل جذب (KL) آن  $0.3 \text{ mg/L}$  و مقادیر RL محاسبه شده برای جذب نفت مقدار  $9\% / 0$  تعیین گردید. این عدد بین صفر تا یک می‌باشد. به دست آمده نشان دهنده جذب مطلوب توسط جاذب بود.

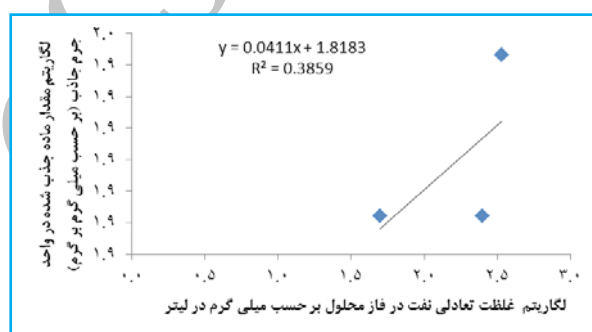
### بحث

در بین روش‌های مختلف، استفاده از جاذب‌ها در حال حاضر مهم‌ترین و پرکاربردترین روش تلقی می‌شوند (۲۴). در مطالعه حاضر بیشترین جذب نفت با استفاده از پسماند پشم سنگ در pH اسیدی ۳ به میزان ( $59/70$  درصد) اتفاق افتاد. با افزایش مقدار pH، میزان جذب کاهش پیدا کرد؛ به طوری که pH=۷ و pH=۹ بدون اختلاف معنی‌داری با یکدیگر، کمترین میزان جذب در بین سایر مقادیر را داشتند (به ترتیب به میزان  $41/59$  و  $69/57$ ). درصد، اما کمترین مقدار جذب در pH=۹ به میزان  $69/57$  درصد اتفاق افتاد. pH یکی از فاکتورهای مهمی بود که از طریق تأثیر بر ساختار ماده آلینده و بار سطحی جاذب، در فرآیند جذب تأثیر گذاشت (۲۵). علت کاهش درصد جذب با افزایش pH را می‌توان مرتبط به ساختار آنیونی جذب شونده دانست. بررسی‌ها نشان داد که در pH بالا، بار الکتریکی سطحی غالب در سطح جاذب‌ها به صورت بار منفی بود. بر این اساس با افزایش pH، تعداد بارهای منفی افزایش یافت و با توجه به ماهیت آنیونی جذب شونده در این شرایط، جاذبه الکترواستاتیکی میان جاذب و آلینده کاهش یافت و راندمان جذب کاهش پیدا کرد (۲۶، ۲۷). این نتایج با مطالعه Banat و همکاران (۲۰۰۰) مطابقت داشت. در مطالعه آنها درصد جذب فنل بر روی بنتونیت با افزایش pH کاهش پیدا کرد (۲۵). نتایج مشابهی توسط Varghese و Vinod (۲۰۰۴) گزارش شد، این محققین نیز تأثیر pH در افزایش جذب آلینده بر سطح جاذب را به ارتباط pH و بار الکتریکی سطح جاذب نسبت

جادب پسماند پشم سنگ در شکل ۶ و ۷ نشان داده شده است. پارامترهای این مدل‌ها نیز در جدول ۴ برای پسماند پشم سنگ ارائه شده است.



شکل ۶. هم‌دمای جذبی لانگمویر برای جذب نفت به وسیله پسماند پشم سنگ



شکل ۷. هم‌دمای جذبی فروندلیچ برای جذب نفت به وسیله پسماند پشم سنگ

جدول ۴. ثابت‌های هم‌داماهای جذبی لانگمویر و فروندلیچ برای جاذب پسماند پشم سنگ

مقدار	ضریب	مدل
فروندلیچ	$k_f(\text{g}/\text{L})$	۱۵/۲
$n/\text{l}$	$n$	$0.411$
'R	$R$	$0.3859$
لانگمویر	$K_L(\text{mg}/\text{L})$	$0.3$
$c/b/\text{l} = c/x/m$	$b(\mu\text{g}/\text{g})$	$13/31$
$15/2 \text{ g/L}$	'R	$0.9948$
$R_L$	$R$	$0.9$

جادب نفت به وسیله پسماند پشم سنگ از مدل لانگمویر به علت داشتن  $R^2$  بالاتر (میزان  $9948/0$ ) تعیت می‌کند. ضریب  $K_f$  نیز که معیاری از قدرت جذب می‌باشد، برابر  $15/2 \text{ g/L}$  بود. ضریب  $n/1$  مدل فروندلیچ که معیار شدت جذب است،

افزایش پیدا کرد و سپس ثابت شد (۳۴). در مطالعه Hosseini و همکاران (۲۰۱۷) که بر روی حذف هیدروکربن از لجن مخازن گازوئیل با استفاده از زئولیت منطقه سمنان صورت گرفت، افزایش زمان، به علت افزایش تعداد برخورد آلاینده و جاذب، سبب بالا بردن درصد جذب شد (۳۶).

در مطالعه حاضر اثر تغییر مقدار ماده جاذب بر فرآیند جذب نفت از پساب بیانگر آن بود که با افزایش مقدار جاذب، درصد جذب نفت توسط ماده جاذب افزایش پیدا کرد و اما در مقادیر بالاتری از ماده جاذب، تغییری در درصد جذب رخ نداد. بیشترین میزان جذب توسط پسماند پشم سنگ در مقدار  $5\text{ g/L}$   $0/5$  جاذب اتفاق افتاد ( $76/80$  درصد) که با افزایش میزان جاذب، تغییر معنی‌داری در درصد جذب رخ نداد و کمترین میزان جذب با اختلاف معنی‌داری نسبت به سایر مقادیر در  $0/25\text{ g/L}$  مشاهده شد (میزان  $67/78$  درصد). در مطالعه Banat و همکاران (۲۰۰۰)، با افزایش مقدار جاذب، میزان جذب در نتیجه افزایش مساحت سطحی فعال و مؤثر در جذب افزایش پیدا کرد، اما در نهایت، افزودن مقادرهای بیشتر جاذب تأثیری در افزایش جذب نداشت. در حقیقت تعادلی بین جاذب و ماده جذب شونده در محلول رخ داد و بعد از آن جذبی صورت نگرفت. در ابتدا با افزایش میزان جاذب، مکان‌های جذب بیشتری در غلظت‌های همانند در اختیار جذب شونده قرار گرفت و درصد جذب را افزایش داد (۲۵)، اما وقتی ظرفیت جاذب قادر به انباست فقط میزان خاصی از آلاینده مورد نظر بود و اشباع شد، افزودن بیشتر مقدار جاذب تأثیری بر افزایش درصد جذب نداشت. در مطالعه Hussein و همکاران (۲۰۰۹)، هرچند افزایش دوز جاذب باعث افزایش راندمان حذف آلاینده (فنل) شد، اما به دلیل غیر اشباع ماندن برخی نقاط فعال موجود در سطح جاذب، میزان Razavi جذب در واحد جرم جاذب کاهش یافت (۳۰). در مطالعه Razavi و همکاران (۲۰۱۴) که بر کاربرد پوسته برنج خام در حذف نفت خام از محیط‌های آبی انجام گرفت نیز با افزایش مقدار جاذب از  $1\text{ g/L}$   $10$ ، درصد جذب تا حد اشباع نیز افزایش پیدا کرد (۳۴). در مطالعه دیگر Razavi و همکاران (۲۰۱۳) که بر روی کاربرد

دادند. این محققین گزارش کردند که در  $\text{pH}$  پایین‌تر از  $\text{pHzPC}$  سطح جاذب توسط عوامل کربوکسیلیک حاوی پروتون احاطه می‌شود و این شرایط باعث افزایش بار مثبت بر سطح جاذب می‌شود. در مطالعه آنها با توجه به ماهیت آنیونی مواد جاذب، در این شرایط جاذبه الکترواستاتیکی میان جذب شونده و آلاینده افزایش یافت و راندمان حذف افزایش پیدا کرد، این پدیده در مورد جاذب مورد استفاده در این مطالعه نیز حاکم بود (۲۶). در مطالعه Ahmad و همکاران (۲۰۰۵) که بر روی حذف روغن باقی‌مانده در پساب با استفاده از جاذبهای طبیعی کیتوزان، بنتونیت و کرین فعال انجام گرفت، جذب روغن باقی‌مانده بر روی بنتونیت و کرین فعال در شرایط اسید قابل توجه بود.  $\text{pH}$  محلول‌ها بر سطح بار این جاذب‌ها تأثیر گذاشت و درجه یونیزاسیون آنها باعث عملکرد بهتر آنها به عنوان یک جاذب نفت شد.

در مطالعه حاضر اثر تغییر زمان تماس بر فرآیند جذب نفت توسط ماده جاذب بیانگر آن بود که با افزایش زمان تماس پسماند پشم سنگ با پساب ساختگی حاوی نفت، راندمان جذب افزایش یافت. بیشترین میزان جذب نفت توسط پسماند پشم سنگ در زمان  $15\text{ min}$  با اختلاف معنی‌داری نسبت به سایر زمان‌ها مشاهده شد (میزان  $76/01$  درصد) و کمترین میزان جذب در زمان  $3\text{ min}$  با اختلاف معنی‌داری مشاهده شد (میزان  $63/82$  درصد). در مطالعه Sayyahzadeh و همکاران (۲۰۱۵) که بر روی حذف هیدروکربنهای نفتی از پساب پالایشگاه نفت با استفاده از جاذبهای طبیعی مانند پوست بادام و گردو انجام گرفت، با افزایش زمان تا  $30\text{ min}$ ، میزان جذب افزایش یافت، اما با افزایش زمان بیشتر، جذب به صورت ثابت درآمد (۳۳). در مطالعه Salehi و همکاران (۲۰۱۴) در این راستا، با افزایش زمان تماس، میزان جذب سیر صعودی داشت؛ چراکه مکان‌های فعال زیاد و خالی در سطح جاذب، با گذشت زمان اشغال شد (۲۷). در مطالعه Razavi و همکاران (۲۰۱۴) که پیرامون کاربرد پوست برنج خام در حذف نفت خام از محیط‌های آبی انجام شد، نیز با افزایش زمان تماس، درصد جذب نفت خام توسط پوسته برنج

برنج در حذف روغن موتور از محیط‌های آبی انجام گرفت، در مورد روغن موتور بهران، درصد جذب برای جاذب خام در ابتدا با افزایش غلظت اولیه روغن از  $7 \text{ g/L}$  تا  $1 \text{ g/L}$  افزایش یافت ( $80\%$  درصد) و سپس برای غلظت  $100 \text{ g/L}$  روغن کاهش پیدا کرد ( $7/5\%$  درصد).

در آخر پس از مقایسه ضرایب تبیین هم دماهای خطی در جذب سطحی نفت با یکدیگر، مدل لانگمویر با  $R^2 = 0.92$  بالا برای جذب توسط پسماند پشم سنگ انتخاب شد. ضریب  $K_L$  در جاذب  $0.03/0$  بود و ضریب  $b$  در جاذب پسماند پشم سنگ برابر  $13/31$  تعیین شد و ضریب  $RL$  میزان  $0.9/0.9$  تعیین شد. در مطالعه Sayyahzadeh و همکاران (۲۰۱۵) که بر روی حذف هیدروکربن‌های نفتی از پساب پالایشگاه نفت با استفاده از جاذب‌های طبیعی مانند پوست بادام و گردو صورت گرفت، بیشینه ظرفیت جذب سطحی تک لایه‌ای کربن فعال پوست بادام و پوست گردو به ترتیب در حدود  $83 \text{ mg/g}$  و  $59 \text{ mg/g}$  برآورد شد (۳۳). در مطالعه Razavi و همکاران (۲۰۱۴) که بر روی کاربرد پوسته برنج خام در حذف نفت خام از محیط‌های آبی انجام گرفت نیز جذب نفت خام بر روی پوسته برنج با مدل فروندیج برآش بهتری داشت و بیشترین جذب نفت خام در محیط آبی توسط پوسته برنج خام در شرایط بینه حدود  $55 \text{ mg/g}$  درصد تعیین شد.

**نتیجه‌گیری:** در مطالعه حاضر با افزایش زمان تماس، راندمان جذب افزایش یافت. جذب گازوئیل توسط جاذب پسماند پشم سنگ در بازده زمانی  $15 \text{ min}$  بیشترین مقدار بود. همچنین با کاهش  $\text{pH}$ ، میزان جذب برای نفت افزایش یافت. در بررسی اثر تغییر غلظت اولیه گازوئیل، افزایش غلظت اولیه نفت در پساب، سبب افزایش میزان جذب شد. همچنین در رابطه با میزان جاذب با افزایش میزان جاذب، میزان جذب افزایش یافت. با استفاده از رسم هم‌دماهای جذب مشخص شد که جذب نفت با استفاده از پسماند پشم سنگ از مدل لانگمویر پیروی کرد. در نهایت مشخص شد که پسماند پشم سنگ کارایی بالای در جذب نفت از پساب دارد و می‌تواند در تصفیه فاضلاب‌های صنعتی مورد استفاده قرار گیرد.

پوست برنج در حذف روغن موتور از محیط‌های آبی انجام گرفت، با افزایش مقدار جاذب خام از مقادیر  $1/0 \text{ g}$  تا  $1 \text{ g}$  (غلظت روغن بهران  $7 \text{ g/L}$ )، درصد جذب روغن بهران افزایش یافت، اما افزودن بیشتر مقدار جاذب، تأثیری در افزایش درصد جذب نداشت و جذب ثابت ماند (۳۵).

در مطالعه حاضر با افزایش حجم نفت در پساب از  $150 \text{ mL}$  در  $450 \text{ mL}$ ، راندمان جذب پسماند پشم سنگ شروع به افزایش یافتن کرد؛ به طوری که بیشترین درصد جذب در غلظت  $450 \text{ mL}$  برای پسماند پشم سنگ با اختلاف معنی‌دار به میزان  $20 \text{ mL}$  درصد تعیین شد و کمترین میزان جذب در مقدار  $150 \text{ mL}$  نفت به میزان  $58/98 \text{ mL}$  درصد اتفاق افتاد. در مطالعه Sayyahzadeh و همکاران (۲۰۱۵) که بر روی حذف هیدروکربن‌های نفتی از پساب پالایشگاه نفت با استفاده از جاذب‌های طبیعی مانند پوست بادام و گردو صورت گرفت، با افزایش غلظت جاذب از  $0/2 \text{ g/L}$  تا  $1 \text{ g/L}$ ، راندمان حذف با نرخ ثابت و قابل ملاحظه‌ای افزایش یافت، اما با بیشتر شدن غلظت جاذب از  $1 \text{ g/L}$ ، اندازه این نرخ به تدریج کاسته شد (۳۳). در مطالعه Razavi و همکاران (۲۰۱۴)، درصد جذب نفت خام توسط پوسته برنج خام در ابتدا با افزایش غلظت اولیه نفت از  $1 \text{ g/L}$  تا  $7 \text{ g/L}$  افزایش یافت  $25-45 \text{ mg/g}$  درصد) و سپس ثابت شد (حدود  $51 \text{ mg/g}$ ). با افزایش غلظت اولیه ترکیب نفتی، جذب افزایش و پس از رسیدن به یک غلظت مشخص، تغییری در جذب مشاهده نشد و جذب ثابت ماند. ثابت ماندن روند جذب پس از رسیدن به بیشترین جذب به این دلیل بود که برای هر جاذب، ظرفیت مشخصی برای جذب وجود داشت (۳۴). هرچند با افزایش غلظت اولیه ترکیب‌های نفتی از یک سو، دسترسی جاذب برای جذب آب کاهش یافت (۳۱). از سوی دیگر مولکول‌های بیشتری از ترکیب نفتی در اختیار جاذب قرار گرفت و مکان‌های جذب به سرعت توسط جذب شونده اشغال شد (۳۲)، اما به محض سیر شدن جاذب، افزودن غلظت بیشتر ترکیب نفتی تأثیری بر جذب نداشت. همچنین به دلیل ثابت بودن مقدار جاذب با وجود افزایش غلظت اولیه ترکیب‌های نفتی، درصد جذب ثابت ماند (۳). در مطالعه دیگر Razavi و همکاران (۲۰۱۳) که بر روی کاربرد پوسته

## Reference:

1. Taghvaii pour A. Water Analysis;; first ed Arak University Press. 2016. (Persian)
2. Dehghani F, Rahnamaii R, Melkotti M J, Saadat S. Investigating the ratio of calcium to magnesium ratio in some irrigation water in the country. Journal of Water Research in Agriculture.2015;1:13-1. (in Persian)
3. Durand JP, Béboulène JJ, Ducrozet A. Detailed characterization of petroleum products with capillary analyzers. Analusis.1995;23:481-483.
4. Chen L, Si Y, Zhu H, Jiang T, Guo Z. A study on the fabrication of porous PVDF membranes by in-situ elimination and their applications in separating oil/ water mixtures and nano-emulsions. Journal of Membrane Science. 2016;520:760-800.
5. Fox C, O'Hara P, Bertazzon S, Morgan K, Underwood F, Paquet P. A preliminary spatial assessment of risk: Marine birds and chronic oil pollution on Canada's Pacific coast. Science of The Total Environment.2016;573:799-809.
6. Lee M, Jung J-Y. Pollution risk assessment of oil spill accidents in Garorim Bay of Korea. Marine Pollution Bulletin.2015;100(1):297-303.
7. BÍcego M.C, Taniguchi S, Yogui GT, Montone RC, Da Silva DAM, Lourenco RA, De Castro Martins C, Sasaki ST, Pellizari VH, Webe RR. Assessment of contamination by polychlorinated biphenyls and aliphatic and aromatic hydrocarbons in sediments of the Santos and São Vicente Estuary System, São Paulo, Brazil. J. of Marine Pollution Bulletin;2006;52(12):1804-1816.
8. Yuan M, Tong S, Zhao S. and Jia CQ. Adsorption of polycyclic aromatic hydrocarbons from water using petroleum coke-derived porous carbon", Journal of Hazardous Materials.2011;181(1-3):1115-1120.
9. Bande RM, Prasad B, Mishra I, Wasewar KL. Oil field effluent water treatment for safe disposal by electroflotation. Chemical Engineering Journal. 2008;137(3):503-9.
10. Tir M, Moulai-Mostefa N. Optimization of oil removal from oily wastewater by electrocoagulation using response surface method. Journal of hazardous materials. 2008;158(1):107-15.
11. IRAC. Man-Made Fiber and Radon. IRAC Monograph on the Evaluation of Carcinogenic Risks to Humans. 1988. Vol. 43. Lyon:IRAC.
12. Gravv-Hill, McGraw-hill. Encyclopedia of Science and technology. Asbestos. Mc, Inc., U.S.A. 1989; 91-93.
13. Luoto Kirsil, Holopainen Mikko, Kangas, Juhani, Pentti, Savolainen, Kai. Dissolution of Short and Long Rockwool and Glasswool Fibers by MacropHages in flowthrough Cell Culture. Environmental Research.1998;78:25\_37.
14. Kamstrup J, davis JMg, Ellehauge A, Guldberg. The Biopersistence and Pathogenicity of Man-Made Vitreous Fiber after Short and long Term Inhalation. Ann. Occup. Hyg. Vol. 1998;42(3):191-198.
15. ISO 9229, "Thermal insulation–Vocabulary", 2007.
16. Perezcandela M, Martinmartinez JM. Torregrosamacia R. Chromium (VI) removal with activated carbons. water research.1995;29: 2174-2180.
17. Mortazavi B, Rasoul L, Kazemian H. Chromat removal from aqueous solutions by cationic surfactant modified zeolite. Journal of Health and Environment, Volume III.2010;46-37.(Persian)
18. Kumar S, Nair RR, Pillai PB, Gupta SN, Iyengar M, Sood AK. Graphene Oxide-MnFe2O4 Magnetic Nanohybrids for Efficient Removal of Lead and Arsenic from Water. ACS Appl Mater Interfaces.2014;6(20):17426-36.
19. Anbia, M. and Moradi, S.E. \Adsorption of napthalene-derived compounds from water by chemically oxidized nanoporous carbon", Chemical Engineering Journal.2009;148(2-3):452-458.
20. Akhil A, Mouflih M, Sebti S. Removal of heavy metal ions from water by using calcined pHosphate as a new adsorbent, Journal of Hazardous Materials.2004:183–190.
21. Hall K, Eagleton R, Acrivos L, Vermeulen A. Pore and solid diffusion kinetics for fixed-bed adsorption under Constant- Pattern Condition, Industri & Eng. chem. Fundamental.1996;5:212-223.
22. Roop Ch. B, Goyal M. Activated Carbon Adsorption, CRC Press. 2005; 497.
23. Ibrahim S, Wang S, Ang HM. Removal of Emulsified Oil from Oily Wastewater Using Agricultural Waste Barley Straw, Biochem. Eng. J.2010;49(1):78-83.
24. Ong ST, Lee CK, Zainal Z. Removal of basic and reactive dyes using ethylenediamine modified rice hull. Bioresour Technol2007; 5:2792-9.
25. Banat FA, Al-Bashir B, Al-Asheh S, Hayalneh O. Adsorption of Phenol by bentonite. Environ Pollut.2000;107:391-398.
26. Varghese S, Vinod VP. Kinetic and equilibrium characterization of phenols adsorption onto a novel activated carbon in water treatment. Indian J Chem Technol.2004;11:825-833.
27. Salehi Rad A, Haghigat Kish M, Hosseini Verkhani, M. Application of polyester hollow fiber polyethylene (polyethylene terephthalate). Petroleum Research.2014 23(76):64-57.(Persian)
28. Chowdhury A K, Sarkar AD, Bandyopadhyay A. Rice Husk Ash as a Low Cost Adsorbent for the Removal of Methylene Blue and Congo Red in Aqueous Phases, Clean–Soil, Air, Water. 2009;37(7):581-591.
29. Haussard M, Gaballah I, Kanari N, De Donato P, Barres O, Villieras F. Separation of Hydrocarbons and Lipid from Water Using Treated Bark, Water Res.2003;37(2):362-374.
30. Hussein M, Amer A, El-Maghraby A, Taha N. Availability of Barley Straw Application on Oil Spill Clean up, Int. J.

- Environ. Sci. Technol.2009;6(1):123-130.
31. Liew K, Yee A, Nordin M. Adsorption of Carotene from Palm Oil by Acid-Treated Rice Hull Ash, J. Am. Oil Chem. Soc.1993;70(5):539-541.
  32. Lim TT, Huang X. Evaluation of Kapok (*Ceiba pentandra* (L.) Gaertn.) as a Natural Hollow Hydrophobic-Oleophilic Fibrous Sorbent for Oil Spill Cleanup, ChemospHere.2007;66(5):955-963.
  33. Sayyahzadeh A H, Ganji Dost H, Ayati B. The removal of hydrocarbons from petroleum refinery effluent using natural adsorbents. Sharif Civil Engineering Magazine.2015;2(2-3):41-4.(Persian)
  34. Razavi Z., Mirghfari N. Application of crude rice crust in the removal of crude from aqueous media. Journal of Chemistry and Chemical Engineering of Iran. 2014; 35(1):13-23. (Persian)
  35. Razavi Z, Mirghfari N and Rezaei B. The application of rice husk in the removal of engine oil from aquatic environments, the 6th National Conference and the First International Management Conference on Waste Management, Mashhad, the Organization of Municipalities and Demand of the country. 2013. (Persian)
  36. Majid Hosseini Z B, Shenavaei Zare T, Saleh Abadi Kh. Hydrocarbon removal from sludge in gasoline tanks using the Zeolite region of SEMnan. Oil Research. 2017;88:122-112. (Persian)
  37. Adebajo M.O, Frost R L, Kloprogge JT, Carmody O, Kokot S. Porous materials for oil spill cleanup: A review of synthesis and absorbing properties. J. of Porous Materials. 2003;10:159-170.
  38. Fernández-Calviño D, Rodríguez-Salgado I, Pérez-Rodríguez P, Nóvoa-Muñoz JC, Arias-Estévez M. Time evolution of the general characteristics and Cu retention capacity in an acid soil amended with a bentonite winery waste. Journal of Environmental Management. 2015;150:435-443.
  39. Papadopoulos AM. State of the art in thermal insulation materials and aims for future developments. Energ Build. 2005;37:77-86.
  40. Müller A, Leydolph B, Stanelle K. Recycling mineral wool waste—Technologies for the conversion of the fiber structure, Part 1. Interceram. 2009;58:378–381
  41. Dunster AM. Industrial sector study on the utilization of alternative materials in the manufacture of mineral wool insulation. [http://www.smartwaste.co.uk/filelibrary/Mineralwool\\_sectorstudy.pdf](http://www.smartwaste.co.uk/filelibrary/Mineralwool_sectorstudy.pdf) Accessed: 23 January 2012.